

سنتز یک مرحله ای نانوسیلیکای آبگریز با استفاده از الکل زنجیر بلند ۱-اکتادکانول*

ملیحه درگاهی زابلی^(۱) اقبال صحراعی^(۲) بهزاد پورعباس^(۳) برایان کرگل^(۴)

چکیده

در این مقاله، سنتز نانوذرات سیلیکا همزمان با اصلاح سطح آنها به کمک الکل زنجیر بلند ۱-اکتادکانول در دمای ۷۰ درجه سانتیگراد مطابق روش استوبر انجام شده است. میزان آبگریزی ذرات با افزایش درصد ۱-اکتادکانول تا رسیدن به غلظت ۷ درصد وزنی به میزان قابل توجهی افزایش یافته و اصلاح سطح در طول ۹۰ دقیقه اول واکنش کامل شده و زمان واکنش بیش از ۹۰ دقیقه تاثیر چندانی بر میزان آبگریزی ذرات نگذاشته است. حداکثر اصلاح سطح نانوذرات سیلیکا در $pH=8$ حدود ۸ صورت پذیرفته است. اصلاح سطح با استفاده از آنالیز جذب اشعه مادون قرمز، آنالیز گرمایی TGA و بررسی زاویه تماس تأیید شده است. انکسار اشعه ایکس و تصاویر میکروسکوپ الکترونی عبوری برای بررسی مورفولوژی و اندازه نانوذرات سیلیکا به کار گرفته شده است.

واژه‌های کلیدی سنتز یک مرحله‌ای، اصلاح سطح، نانوذرات سیلیکا، ۱-اکتادکانول، آبگریز، روش استوبر.

One-Pot Synthesis of Hydrophobic Silica Nano Particles with Long-Chain Alcohol 1-Octadecanol

M. Dargahi-Zaboli

E. Sahraei

B. Pourabbas

B. Korgel

Abstract

In this work, one-pot synthesis of modified silica nanoparticles with long-chain alcohol 1-Octadecanol by stober method at 70 °C is presented. Hydrophobicity of particles increased dramatically by increasing the amount of 1-Octadecanol up to 7 wt.%. Surface modification was completed during the first 90 minutes. Additional reaction time had no further effect. The most possible modification was obtained when the reaction took place at $pH=8$. Successful surface modification was confirmed by FT-IR spectroscopy, thermogravimetric analyses and contact angle measurements. X-ray diffraction patterns indicate an amorphous structure which did not significantly change by surface modification. Transmission electron microscopy images were used to investigate the morphology and dimension of the silica particles.

Key words One-Pot Synthesis, Surface Modification, Silica Nanoparticles, Hydrophobic, 1-Octadecanol, Stober Method

* نسخه نخست مقاله در تاریخ ۹۳/۷/۱۶ و نسخه پایانی آن در تاریخ ۹۴/۷/۷ به دفتر نشریه رسیده است.

(۱) دانشجوی دکتری، دانشکده مهندسی شیمی، دانشگاه صنعتی سهند تبریز.

Email: sahraei@sut.ac.ir

(۲) نویسنده مسئول: دانشیار، دانشکده مهندسی شیمی، دانشگاه صنعتی سهند تبریز.

(۳) استاد، دانشکده پلیمر، دانشگاه صنعتی سهند تبریز.

(۴) استاد، رئیس مرکز نانو و علم مولکولی دانشکده مهندسی شیمی دانشگاه آستین تکزاس آمریکا.

مقدمه

امروزه نانوذرات سیلیکا به علت دارا بودن خواص فیزیکی و شیمیایی ویژه توجه زیادی را به خود جلب کرده اند. مزیت اصلی سیلیکا در مقیاس نانو، مساحت سطح بالای این ماده است که باعث می شود در بستر مورد استفاده برهمکنش بیشتری از خود نشان دهد. پودر نانوسیلیکا را می توان؛ در امولسیون به عنوان پایدارکننده، در صنایع رنگ به عنوان مات کننده، افزایش دهنده غلظت، افزایش دهنده مقاومت محیطی و خواص سایشی رنگ؛ در صنعت لاستیک به عنوان پرکننده و افزایش دهنده استحکام و طول عمر لاستیک؛ و در سازه های بتنی و ترکیبات سیمانی به عنوان افزایش دهنده مقاومت محیطی بتن؛ استفاده نمود [3-1، 5-8].

با وجود این، گروه های هیدروکسیل (OH) بر سطح سیلیکا رطوبت را جذب کرده و باعث به هم پیوستن نانوذرات به یکدیگر می شوند. این به هم پیوستگی باعث پراکندگی ضعیف نانوذرات در محیط شده و به میزان زیادی کاربرد نانوذرات سیلیکا را محدود می کند. خوشبختانه، این مشکل با استفاده از روش های اصلاح سطح و عامل های اصلاح کننده مختلف قابل حل است [4-8].

روش های مختلفی برای اصلاح سطح نانوذرات توسعه یافته است، که عمدتاً شامل سل-ژل، رسوب گذاری در فاز مایع، رسوب شیمیایی بخار، رسوب فیزیکی بخار، پوشش دهی پلاسما و مایسل می باشند [11]. در بین روش های ذکر شده، روش فاز مایع به علت شرایط عملیاتی ساده تر و هزینه آزمایشگاهی پایین به میزان گسترده ای استفاده می شود [9-11].

از نقطه نظر تعداد مراحل، به طور کلی دو روش اصلاح سطح وجود دارد: (۱) روش دو مرحله ای که اصلاح سطح بر روی نانوذرات از پیش سنتز شده انجام می شود، و (۲) روش یک مرحله ای سنتز همزمان با اصلاح سطح. لذا در روش یک مرحله ای، دو مرحله جداگانه سنتز و اصلاح در یک مرحله خلاصه می گردد

[17]. مطالعات نشان می دهد که در اکثر موارد اصلاح سطح بر روی سیلیکای سنتز شده انجام شده و یک مرحله ای نبوده است [8، 11، 13]. آن (An) و همکارانش روش جدیدی برای آبگریز کردن سطح سیلیکا ارائه کرده اند. در این روش سطح سیلیکای سنتز شده با انواع الکلهای زنجیره بلند اصلاح شده و سطح سیلیکا تا حدی آبگریز شده است [8]. ما (Ma) و همکارانش در یک روش دو مرحله ای با جذب سطحی CTAB بر نانوذرات سیلیکا سنتز شده، مانع لخته شدن و به هم پیوستن نانوذرات سیلیکا شده و به پخش بهتر آنها در مواد پلیمری کمک نموده است [11]. زو (Zou) و همکارانش در مطالعات خود، برای استفاده از ذرات سیلیکا در زمینه پلیمری، اصلاح سطح نانوذرات سیلیکا را بررسی نمودند. از جمله راه های اصلاح سطح پیشنهادی در این تحقیق، استفاده از CTAB بوده است [12]. بی (Bi) و همکارانش با جذب سطحی CTAB بر ذرات سیلیکا، ترشوندگی نانوذرات سیلیکا را تغییر داده و سپس اثر این نانوذرات را در ازدیاد برداشت نفت از مخازن تولیدی بررسی نمودند [13].

لازم به ذکر است که تعداد محدودی از محققین به صورت یک مرحله ای و در یک روش جدید نانوذرات سیلیکای اصلاح شده را سنتز نموده اند. مارینی (Marini) و همکارانش موفق شدند که برای اولین بار نانوذرات سیلیکای اصلاح شده به کمک گروه عاملی وینیل تری اتوکسی سیلان را در یک روش یک مرحله ای سنتز کنند [19]. همچنین پورعباس و همکارش به طور مشابه نانوذرات سیلیکا را به کمک پلی پیرول در یک روش یک مرحله ای اصلاح نمودند [20]. علاوه بر موارد ذکر شده، عفتی و همکارش نانوذرات سیلیکا با سایز کمتر از ۵۰ نانومتر را به کمک گروه های عاملی وینیل تری متوکسی سیلان و اکریلیک برای اولین بار در یک روش یک مرحله ای سنتز نمودند [17].

از این رو در این تحقیق، برای رسیدن به نانوسیلیکای آبگریز، روش جدید یک مرحله ای

مطالعات نشان می‌دهد که تغییر پارامترها در دو سطح و یک نقطه میانی می‌تواند نتایج قابل تحلیل ارائه دهد [17]. بنابراین در این تحقیق از طراحی آزمایش فاکتورهای جزئی در دو سطح همراه با نقطه میانی (با دو بار تکرار هر آزمایش) استفاده شده است [14].

مطالعات نشان داد که متغیرهای اصلی و اثرگذار در سنتز یک مرحله‌ای نانوذرات اصلاح شده، غلظت اصلاح کننده و زمان واکنش هستند که محدوده تغییر آن‌ها در جدول (۱) ارائه شده است [17, 19-20]. بنابراین در تمام آزمایش‌ها پارامترهای زیر در مقادیر بهینه زیر ثابت نگه داشته شده است: غلظت هیدروکسید آمونیوم و تترااتیل اورتوسیلیکات به ترتیب در ۰/۵ و ۰/۲۵ در حلال اتانول، نسبت آب به تترااتیل اورتوسیلیکات حدود ۳۸ و دمای کلیه آزمایش‌ها (در حداکثر ممکن با توجه به نقطه جوش اتانول) ۷۰ درجه سانتیگراد [17, 19, 20].

مواد شیمیایی مواد شیمیایی اصلی که در این تحقیق مورد استفاده قرار گرفته‌اند عبارتند از: اتانول (۹۹/۵٪)، (Sigma-Aldrich)، متانول (۹۹/۸٪)، (Sigma-Aldrich)، هیدروکسید آمونیوم (۲۹٪)، (Sigma-Aldrich)، اسید کلریدریک (۳۵٪)، (Sigma-Aldrich)، تترااتیل اورتوسیلیکات (TEOS، ۹۹٪)، (Sigma-Aldrich)، اکتادکانول (۹۹٪)، (Sigma-Aldrich) و آب دوبار تقطیر.

سنتز و اصلاح همزمان ارائه شده است. ۱-اکتادکانول (1-Octadecanol) به علت جرم مولکولی بالا با زنجیره بزرگ هیدروکربنی، بهترین انتخاب به عنوان عامل آگریز کننده سطح نانوذرات سیلیکا بوده و به طور موفقیت آمیز برای اولین بار، نانوذرات سیلیکای آگریز در یک مرحله سنتز، تولید شده است. همچنین، برای بررسی اثر پارامترهای مختلف، شرایط واکنش تغییر کرده و نتایج مقایسه شده است. بر اساس نتایج حاصل از تحقیقات محققین از جمله عفتی و همکارش، شرایط بهینه حاصل از تحقیق آنها بررسی، تأیید و در این تحقیق استفاده شده است [17]. بررسی نتایج بر اساس اندازه‌گیری‌های حاصل از تصاویر میکروسکوپ الکترونی عبوری و آنالیزهای جذب اشعه مادون قرمز، TGA، انکسار اشعه ایکس و زاویه تماس انجام شده است.

مواد و روش تحقیق

طراحی آزمایش‌ها در طراحی آزمایش برای بررسی تأثیر متغیرهای فرآیند (پارامترها) بر متغیر پاسخ، به جای انجام مطالعات جداگانه بر روی هر متغیر، همزمان چندین متغیر فرآیند بررسی شده و لذا تعداد آزمایش‌های مورد نیاز به میزان قابل توجهی کاهش می‌یابد. یک طرح آزمایش بهینه طرحی است که با کمترین تعداد آزمایش، داده‌ها و اطلاعات مورد نیاز برای انجام تجزیه و تحلیل و دستیابی به شرایط بهینه را فراهم کند.

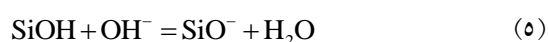
جدول ۱ سطوح تغییر متغیرهای اصلی

نقطه میانی	پائین (-)	بالا (+)	سطح تغییر متغیر
۵	۲	۷	غلظت اصلاح کننده ۱-اکتادکانول (%wt)*
۱۲۰	۹۰	۱۸۰	زمان واکنش (دقیقه)

* درصد وزنی نسبت به کل ذرات سیلیکا سنتز شده

کاملاً تمیز گردند. سرانجام ذرات در مقدار مشخصی اتانول پخش گردیده و نگهداری می‌شوند.

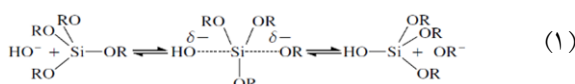
سنتر یک مرحله‌ای نانوذرات سیلیکا اصلاح شده به وسیله اکتادکانول نانوذرات سیلیکا به علت وجود گروه‌های هیدروکسیل بر سطح آنها، فعال و آبدوست هستند. یکی از عوامل اصلی موثر بر بار سطح ذرات در کلونید سیلیکا، pH محیط است. برای اکسیدها در محلول الکترولیت ساده، در pH پایین بار سطح مثبت بوده و با افزایش pH منفی خواهد شد. تغییر بار سطح به علت رها کردن و گرفتن پروتون یا هیدروکسیل است [12,18,19]. معمولاً یونهای H⁺ و OH⁻ عامل این تغییر هستند. همانند دیگر اکسیدهای معدنی، مکانیزم اصلی باردار شدن در محیط آبی از روابط (۴) و (۵) پیروی می‌کند [18,9].



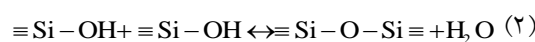
نقطه ایزوالکتریک سیلیکا تقریباً در pH ۲ اتفاق می‌افتد و بار سطح بین pH ۶ و pH ۱۱، منفی خواهد شد. بر طبق تحقیق انجام شده توسط ما (Ma) و همکارانش، بیشترین بار منفی بر سطح سیلیکا تقریباً در pH ۸ رخ می‌دهد [11].

نانوذرات سیلیکای اصلاح شده به وسیله الکل زنجیره بلند ۱-اکتادکانول در سنتر یک مرحله‌ای مشابه سنتر نانوذرات سیلیکای بدون اصلاح سطح تهیه می‌گردند. در این سری آزمایش‌ها ابتدا مواد اولیه با هم مخلوط شده و واکنش شروع می‌شود. بعد از گذشت ۱۵ دقیقه pH واکنش به وسیله اسید کلریدریک یک مولار در مقدار ۸ تنظیم می‌گردد. سپس میزان مشخص ۱-اکتادکانول (مطابق جدول (۱))، در مقداری اتانول پخش شده و به واکنش افزوده می‌شود. واکنش ادامه می‌یابد تا به زمان مشخص شده در جدول (۱) برسد. پس از پایان آزمایش، جداسازی و شستشو انجام می‌شود.

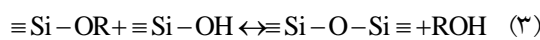
سنتر نانوذرات سیلیکا روش سل-ژل در سه دهه اخیر به عنوان یک روش ساده و کاربردی شناخته شده است. نتایج حاصل از روش سل-ژل را می‌توان در دو مورد خلاصه نمود: (۱) بهبود فرایندها و خواص مواد رایج و (۲) ایجاد مواد جدید [15]. در میان مواد اولیه که برای تولید نانوذرات سیلیکا استفاده می‌شود، سیلیکون آلوکسیدها مانند تری اتوکسی سیلان (TEOS) به میزان وسیعی به کار گرفته می‌شوند. ژل شدن محلول سیلیکون آلوکسید نتیجه هیدرولیز سیلیکون آلوکسید Si(OR)₄ و پلی‌کنندانس یا آبگیری متعاقب آن است که منجر به تشکیل پلیمرها و ذرات با پیوند سیل اکسان می‌شود. در روش معروف استوبر (Stober) از هیدروکسید آمونیوم به عنوان کاتالیست استفاده شده است. در این تحقیق نیز این روش، به عنوان پایه سنتر نانوذرات سیلیکا به کار گرفته شده است [16]. واکنش‌های مرتبط بر اساس روابط (۱) الی (۳) بیان می‌گردد [9]. واکنش هیدرولیز:



واکنش کنندانس آب:



واکنش کنندانس الکل:

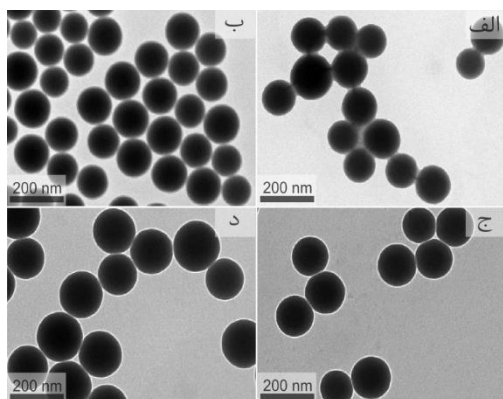


برای تهیه نانوذرات سیلیکا، ابتدا آب و اتانول به مدت ۵ دقیقه هم زده شده و سپس هیدروکسید آمونیوم اضافه می‌گردد. بعد از رسیدن به دمای ۷۰ درجه سانتیگراد، تترائیل ارتوسیلیکات افزوده می‌شود. بعد از یک ساعت نانوذرات سیلیکا تهیه شده به کمک سانتریفیوژ با سرعت ۱۰،۰۰۰ دور بر دقیقه به مدت ۱۰ دقیقه ترسیب می‌شوند. رسوب حاصل به کمک ماوراء صوت در اتانول و آب پخش گردیده و دوباره رسوب داده می‌شود. این فرایند سه بار تکرار می‌گردد تا ذرات

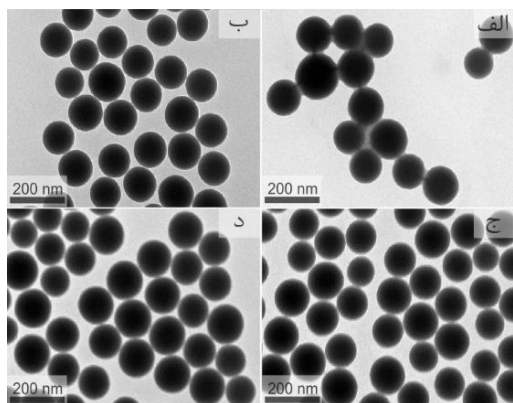
و تغییرات فازی نمونه‌ها در اثر تغییرات دما توسط تجزیه TGA در محیط هوا، از دمای ۳۰ تا ۶۰۰ درجه سانتیگراد و با نرخ حرارت دهی ۲۰ درجه بر دقیقه انجام شد [5، 17، 19، 20].

نتایج و بحث

تصاویر میکروسکوپ الکترونی عبوری نانوذرات سیلیکای اصلاح شده و اصلاح نشده و نتایج اندازه گیری زاویه تماس در شکل‌های (۱)، (۲) و (۳) ارائه شده است [17، 20].



شکل ۱ تصاویر میکروسکوپ الکترونی عبوری نانوذرات سیلیکا، (الف اصلاح نشده؛ ب، ج) و د، اصلاح شده با ۷، ۱- اکتادکانول به ترتیب در ۹۰، ۱۲۰ و ۱۸۰ دقیقه واکنش



شکل ۲ تصاویر میکروسکوپ الکترونی عبوری نانوذرات سیلیکا، (الف اصلاح نشده؛ ب، ج) و د، اصلاح شده در مدت زمان واکنش ۹۰ دقیقه به ترتیب با ۲، ۵ و ۷ درصد وزنی ۱- اکتادکانول

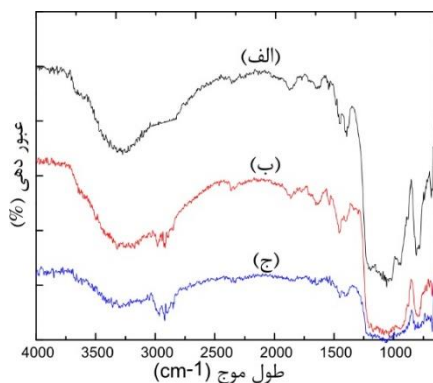
آنالیز نمونه‌ها و تعیین ویژگی‌ها برای بررسی مورفولوژی و ساختار نانوذرات سیلیکا از تصاویر میکروسکوپ الکترونی عبوری استفاده شد. مورفولوژی و ساختار نانوذرات به سادگی در تصاویر میکروسکوپ الکترونی عبوری قابل رؤیت است. همچنین سایز آنها به کمک خط کش موجود در نرم افزار نصب شده بر روی میکروسکوپ الکترونی بدست آمده است.

پیوندهای آلی و غیرآلی موجود در نانوذرات با استفاده از آنالیز جذب اشعه مادون قرمز (FT-IR) که اطلاعاتی درباره پیوندهای شیمیایی مختلف -OH، Si-OH، Si-O-Si، Si-C، C-H می‌دهد، در محدوده فرکانس $4000-650 \text{ cm}^{-1}$ مطالعه شد [22]. از پراش اشعه ایکس (XRD) برای مشخص شدن ساختار آمورف نانوذرات سیلیکا استفاده شده است. پرتو ایکس با برخورد به یک ماده الگوی تفرق آن ماده را مشخص می‌کند. حوزه‌های آمورف قله‌های پهن و حوزه‌های کریستالی قله‌های تیز که نشان دهنده الگوی تفرق کریستال در نمودار است را تشکیل می‌دهند [5].

محدوده زاویه پراش الگوی اشعه ایکس از 5° تا 40° با سرعت اسکن 3° بر دقیقه است. آنگریزی نمونه‌ها با تعیین زاویه تماس آب با سطح پوشیده شده با نانوذرات سیلیکا تعیین شد. اندازه‌گیری زاویه تماس به وسیله یک ابزار دقیق آزمایشگاهی مجهز به دوربین (متصل شده به کامپیوتر) برای گرفتن تصاویر انجام شده است. بستر شیشه‌ای به روش دکتر بلید (Doctor blades) به کمک کلوئید مدنظر پوشانده می‌شود. بدین ترتیب که کلوئید نانوذرات در اتانول با غلظت تقریبی ۱۰ میلی‌گرم بر میلی‌لیتر بر بستر شیشه‌ای چکانده شده (حجم تقریبی قطره ۲ میکرولیتر است) و فرایند پوشش دهی در دمای حدود 78° درجه سانتیگراد (حدود نقطه جوش اتانول) انجام می‌گیرد. همچنین اندازه‌گیری‌ها در اتاق تمیز (Clean Room) صورت گرفته و متوسط حداقل ۵ اندازه‌گیری گزارش شده است [21]. کاهش وزن تفاضلی

بعد از ۹۰ دقیقه نیست. همچنین با افزایش درصد اصلاح کننده ۱-اکتادکانول از ۲ درصد وزنی به ۷، زاویه تماس از ۲۲ درجه به ۶۳ درجه افزایش یافته است. این تغییرات برای زمان واکنش ۹۰ دقیقه در شکل های (۲) و (۳) نشان داده شده است.

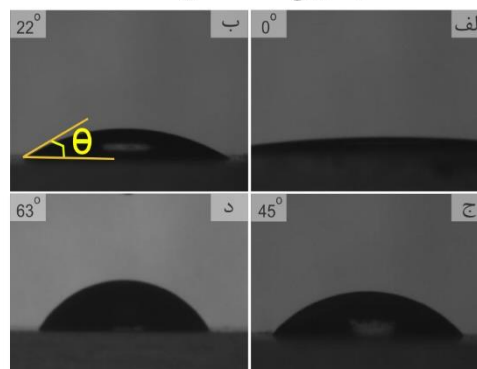
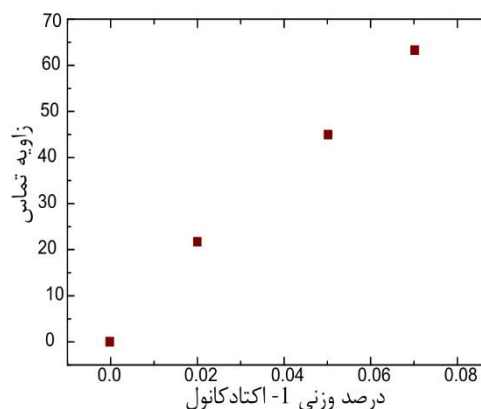
شکل (۴) طیف سنجی جذب اشعه مادون قرمز سیلیکای اصلاح نشده، سیلیکای اصلاح شده با ۵ درصد وزنی ۱-اکتادکانول و سیلیکای اصلاح شده با ۷ درصد وزنی ۱-اکتادکانول را نشان می دهد. پیک های موجود در طیف جذب اشعه مادون قرمز و گروه های عاملی مرتبط در جدول (۲) گردآوری شده است [22].



شکل ۳ طیف سنجی جذب اشعه مادون قرمز نانوذرات سیلیکا، (الف) اصلاح نشده، اصلاح شده با، (ب) ۵ و (ج) ۷ درصد وزنی ۱-اکتادکانول

جدول ۲ گروه های عاملی مربوط به پیک های طیف سنجی شکل (۴)

طول موج طیف	گروه عاملی مرتبط
۷۰۰	Si-OEt
۹۸۰	Si-OH
۱۱۵۰-۱۱۰۰	Si-O-Si
۱۶۰۰-۱۷۰۰	physical adsorbed water
۲۹۸۰-۲۹۱۵	C-H
۳۵۰۰-۳۱۵۰	Si-OH and physical adsorbed water

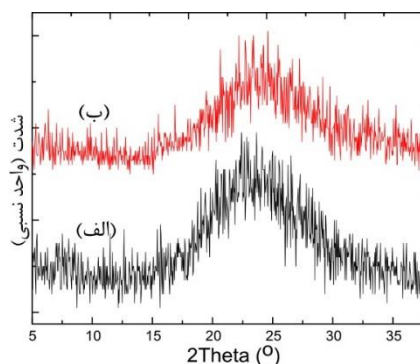


شکل ۳ (بالا) تغییرات زاویه تماس بر اساس درصد وزنی ۱-اکتادکانول؛ (پایین) تصاویر مربوطه به زاویه تماس نانوذرات سیلیکا، (الف) اصلاح نشده؛ (ب)، (ج) و (د)، اصلاح شده در مدت زمان واکنش ۹۰ دقیقه به ترتیب با ۲، ۵ و ۷ درصد وزنی ۱-اکتادکانول

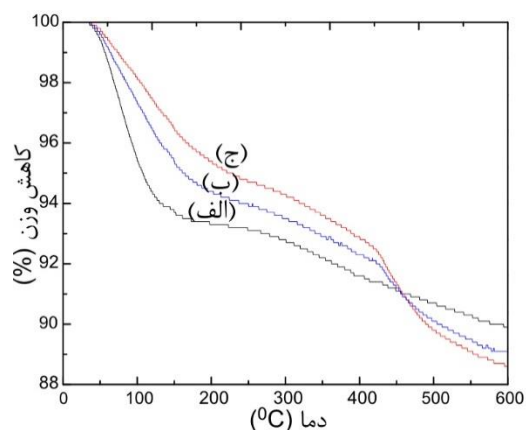
همانطور که مشاهده می شود پراکندگی نانوذرات با اصلاح سطح بهتر شده و نانوذرات اصلاح شده آبدوستی کمتری از خود نشان می دهند. بطوریکه در حالت سیلیکای اصلاح نشده سطح کاملاً آبدوست بوده (زاویه تماس ۰ درجه) و در حالت سیلیکای اصلاح شده با ۷ درصد وزنی اکتادکانول، زاویه تماس ایجاد شده ۶۳ درجه می باشد. اما زمان واکنش تاثیر چندانی بر افزایش میزان آبدوستی نانوذرات نداشته و تنها باعث بزرگ تر شدن ذرات شده است، بدین ترتیب که محدوده سایز ذرات در زمانهای واکنش ۹۰، ۱۲۰ و ۱۸۰ به ترتیب ۱۲۰-۱۰۰، ۱۴۰-۱۲۰ و ۱۶۰-۱۳۰ نانومتر است.

این بدین معنی است که اصلاح سطح در طول ۹۰ دقیقه اول واکنش کامل شده و نیازی به ادامه واکنش

اصلاح کننده یعنی اکتادکانول می باشد که در حالت سیلیکای اصلاح نشده تنها مربوط به آزدایی گروه های سیلانول می باشد و بنابراین از دو حالت اصلاح شده کمتر است. کل درصد کاهش وزن در این ناحیه برای سیلیکای اصلاح نشده، اصلاح شده با ۷ درصد وزنی ۱- اکتادکانول و اصلاح شده با ۵ درصد وزنی ۱- اکتادکانول به ترتیب ۱٪، ۴٪ و ۳٪ وزنی می باشد. بنابراین درصد ۱- اکتادکانول جذب شده در دو حالت ۵ و ۷ درصد وزنی اصلاح کننده، به ترتیب ۲٪ و ۳٪ وزنی می باشد [5,17,19,20].



شکل ۵ الگوی پراش اشعه ایکس نانوذرات سیلیکا، (الف) اصلاح نشده؛ (ب) سیلیکای اصلاح شده با ۷ درصد وزنی ۱- اکتادکانول



شکل ۶ داده های TGA نانوسیلیکای، (الف) اصلاح نشده. اصلاح شده با، (ب) ۵ و (ج) ۷ درصد وزنی ۱- اکتادکانول

همانطور که مشاهده می شود پیک های مربوط به آب جذب شده و گروه های سیلانول با اصلاح سطح نانوسیلیکا به مقدار قابل توجهی خصوصاً در حالت ۷ درصد وزنی ۱- اکتادکانول کاهش یافته اند. همچنین با اصلاح سطح و اضافه شدن مولکول های ۱- اکتادکانول به سطح سیلیکا پیک های مربوط به پیوندهای هیدروکربنی در طیف ظاهر شده اند. بنابراین طیف سنجی جذب اشعه مادون قرمز اصلاح سطح نانوذرات سیلیکا را تایید می کند.

شکل (۵) الگوی پراش اشعه ایکس نانوذرات سیلیکای اصلاح نشده و اصلاح شده با ۷ درصد وزنی ۱- اکتادکانول را نشان می دهد. پیک گسترده نشان داده شده در شکل به معنی ساختار بی شکل سیلیکا است که در هر دو حالت اصلاح شده و اصلاح نشده مشاهده می شود. در واقع اصلاح سطح، ساختار سیلیکا را تغییر نداده است [5].

خواص گرمایی نانوذرات سیلیکای اصلاح نشده و اصلاح شده با ۵ و ۷ درصد وزنی ۱- اکتادکانول به کمک آنالیز TGA بررسی شده و نتایج در شکل (۶) ارائه شده است. مقادیر ۱- اکتادکانول جذب سطحی شده توسط نانوذرات سیلیکا با بررسی میزان کاهش وزن قابل محاسبه می باشد. دو بخش کاهش وزن اصلی در شکل (۶) قابل مشاهده است، بطوریکه بخش اول مرتبط با تبخیر رطوبت جذب شده و تبخیر حلال باقیمانده است که در دمای پایین کمتر از ۲۰۰ درجه سانتیگراد رخ داده است. کاهش وزن در این ناحیه برای سیلیکای اصلاح شده با ۵ و ۷ درصد وزنی ۱- اکتادکانول کمتر بوده که به وضوح قابل مشاهده است. این تفاوت کاهش وزن طبیعت آگریز نانوذرات سیلیکای اصلاح شده را تایید می کند که در توافق با نتایج حاصل از زاویه تماس می باشد. همچنین کاهش وزن در حالت ۷ درصد وزنی به علت آگریزی بیشتر نسبت به حالت ۵ درصد وزنی، کمتر است. بخش دوم کاهش وزن که در دمای بیش از ۴۰۰ درجه سانتیگراد رخ داده است به علت آزدایی از گروه های سیلانول و تجزیه عامل

نتیجه گیری

طول ۹۰ دقیقه اول واکنش کامل شده و نیازی به ادامه واکنش بعد از ۹۰ دقیقه نیست. روند تغییرات زاویه تماس نشان می دهد که تغییرات در ابتدا زیاد بوده اما با افزایش غلظت به حدود ۷ درصد وزنی ۱- اکتادکانول روند تغییرات به سمت عددی ثابت میل می کند، لذا عدد ۷ به عنوان مقدار بهینه غلظت اصلاح کننده انتخاب شده است. درصد ۱- اکتادکانول جذب شده در این حالت ۳٪ وزنی می باشد.

در این تحقیق روش جدید یک مرحله ای سنتر همزمان با اصلاح سطح نانوذرات سیلیکا به کمک ۱- اکتادکانول ارائه شد. در این روش با استفاده از ۷ درصد جرمی ۱- اکتادکانول در شرایط دمایی ۷۰ درجه سانتیگراد، ۸ pH، زمان واکنش ۹۰ دقیقه می توان از زاویه تماس صفر درجه (سیلیکای اصلاح نشده) به زاویه تماس ۶۳ درجه رسید که بدین معنی است که آبریزی سیلیکا به میزان قابل توجهی افزایش یافته است. اصلاح سطح در

مراجع

- 1- Zhang C., Zhang Sh., Laigui Y., Zhang Z., Zhishen W., Zhang P., "Preparation and tribological properties of water-soluble copper / silica nanocomposite as a water-based lubricant additive", *Applied Surface Science*, Vol. 259, pp. 824-830, (2012).
- 2- Dittanet P., Pearson R.A., "Effect of silica nanoparticle size on toughening mechanisms of filled epoxy", *Polymer*, Vol. 53, pp. 1890-1905, (2012).
- 3- Idrus S.S., Ismail H., Palaniandy S., "Study of the effect of different shapes of ultrafine silica as fillers in natural rubber compounds", *Polymer Testing*, Vol. 30, pp. 251-259, (2011).
- 4- Ganbavle V.V., Bangi U.K.H., Latthe S.S., Mahadik S.A., Venkateswara Rao A., "Self-cleaning silica coatings on glass by single step sol-gel route", *Surface & Coatings Technology*, Vol. 205, pp. 5338-5344, (2011).
- 5- Park J.T., Seo J.A., Ahn S.H., Kim J.H., Kang S.W., "Surface modification of silica nanoparticles with hydrophilic polymers", *Journal of Industrial and Engineering Chemistry*, Vol. 16, pp. 517-522, (2010).
- 6- Gao L., He J., "Surface hydrophobic co-modification of hollow silica nanoparticles toward large-area transparent superhydrophobic coatings", *Journal of Colloid and Interface Science*, Vol. 396, pp. 152-159, (2013).
- 7- Xue L., Li J., Fu J., Han Y., "Super-hydrophobicity of silica nanoparticles modified with vinyl groups", *Colloids and Surfaces A: Physicochem. Eng. Aspects*, Vol. 338, pp. 15-19, (2009).
- 8- An D., Wang Z., Zhao X., Liu Y., Guo Y., Ren S., "A new route to synthesis of surface hydrophobic silica with long-chain alcohols in water phase", *Colloids and Surfaces A: Physicochem. Eng. Aspects*, Vol. 369, pp. 218-222, (2010).
- 9- Brinker C.J., Scherer G.W., "Sol-gel science (the physics and chemistry of sol-gel processing)", Academic Press Inc., (1990).

- 10- Bergna H.E., Roberts W.O., "Colloidal silica (Fundamentals and Applications)", CRC Press, (2006).
- 11- Ma X.K., Lee N.H., Oh H.J., Kim J.W., Rhee C.K., Park K.S., Kim S.J., "Surface modification and characterization of highly dispersed silica nanoparticles by a cationic surfactant", *Colloids and Surfaces A: Physicochem. Eng. Aspects*, Vol. 358, pp. 172–176, (2010).
- 12- Zou H., Wu S., Shen J., "Polymer/Silica Nanocomposites: Preparation, Characterization, Properties, and Applications", *Chem. Rev.*, Vol. 108, pp. 3893–3957, (2008).
- 13- Bi Z., Liao W., Qi L., "Wettability alteration by CTAB adsorption at surfaces of SiO₂ film or silica gel powder and mimic oil recovery", *Applied Surface Science*, Vol. 221, pp. 25–31, (2004).
- 14- Montgomery D.C., "Design and analysis of experiments", 5th ed., *John Wiley & Sons Inc.*, (2001).
- 15- Cannavale A., Fiorito F., Manca M., Tortorici G., Cingolani R., Gigli G., "Multifunctional bioinspired sol-gel coatings for architectural glasses, Building and Environment", Vol. 45, pp. 1233–1243, (2010).
- 16- Green D.L., Jayasundara S., Lam Yui-Fai, Harris M.T., "Chemical reaction kinetics leading to the first Stober silica nanoparticles – NMR and SAXS investigation", *Journal of Non-Crystalline Solids*, Vol. 315, pp. 166–179, (2003).
- 17- Effati E., Pourabbas B., "One-pot synthesis of sub-50 nm vinyl- and acrylate-modified silica nanoparticles", *Powder Technology*, Vol. 219, pp. 276–283, (2012).
- 18- Paria S., Khilar K.C., "A review on experimental studies of surfactant adsorption at the hydrophilic solid–water interface", *Advances in Colloid and Interface Science*, Vol. 110, pp. 75-95, (2004).
- 19- Marini M., Pourabbas B., Pilati F., Fabbri P., "Functionally modified core-shell silica nanoparticles by one-pot synthesis", *Colloids and Surfaces A: Physicochem. Eng. Aspects*, Vol. 317, pp. 473–481, (2008).
- 20- Pourabbas B., Pilati F., "Polypyrrole grafting onto the surface of pyrrole-modified silica nanoparticles prepared by one-step synthesis", *Synthetic Metals*, Vol. 160, pp. 1442–1448, (2010).
- 21- Xue L., Li J., Fu J., Han Y., "Super-hydrophobicity of silica nanoparticles modified with vinyl groups", *Colloids and Surfaces A: Physicochem. Eng. Aspects*, Vol. 338, pp. 15–19, (2009).
- 22- Socrates G., "Infrared Characteristic Group Frequencies: Tables and Charts", *John Wiley & Sons*, New York, pp. 34–194, (1994).

